Uma ferramenta morfométrica MAC 499 - Trabalho de formatura supervisionado

aluno: Heitor Lellis Nicoliello No. USP 4941762 orientador: Roberto Marcondes Cesar Junior colaboradores: Fabio Machado e Erika Hingst-Zaher

Sumário

1	\mathbf{Intr}	odução	2
	1.1	Motivação e objetivos	2
	1.2	O processo de análise de imagens	2
	1.3	Pré-processamento	3
	1.4	Transformações	3
	1.5	Classificação	3
2	Con	ceitos	3
	2.1	Imagem digital	5
	2.2	Vizinhança entre pontos	5
	2.3	Segmentação	5
		2.3.1 Thresholding	6
	2.4	Área	7
	2.5		7
	2.6	Perímetro e maior diâmetro	10
	2.7	Centróide	12
	2.8	Raio médio	12
	2.9	Assimetria	12
	2.10	Proporção de escala	13
	2.11	Série de Fourier	13
			14
		2.12.1 FFT	16
	2.13	Curvatura	16
		2.13.1 Curvograma	16
	2.14	Energia de dobramento	17

5	Conclusão	19
4	Resultados - A ferramenta 4.1 Detalhes de implementação	18 19
3	Atividades realizadas	18

1 Introdução

1.1 Motivação e objetivos

A análise de formas é uma importante área da visão computacional, que tem aplicações em diversos campos, como biologia, medicina, geologia, indústria etc. Seu objetivo é caracterizar formas espaciais, extrair medidas precisas e representativas sobre elas e classificá-las. Muitas dessas medidas são, na prática, inviáveis de serem extraídas sem a captura de imagens e o auxílio do computador. A forma dos objetos, sua disposição e as texturas contém todas as informações explícitas de uma imagem, que podem ser capturadas através da análise de formas em conjunto com o estudo de padrões. Tal processo envolve várias tarefas. Uma delas é formalizar conceitos, muitas vezes subjetivos, em medidas e procedimentos bem definidos, passíveis de implementação.

Este trabalho serviu de auxílio ao estudo proposto pelo mestrando Fabio Machado em conjunto com sua orientadora Erika Hingst-Zaher, ambos do Instituto de Biologia da USP. Tal estudo pretende quantificar a forma de ovos de maneira biologicamente significativa, para investigar a discriminação em grupos de distintas hierarquias taxonômicas (variação intra e interespecifica, entre famílias etc).

O objetivo foi desenvolver uma ferramenta que extraísse medidas das formas de objetos a partir de imagens digitais para auxiliar estudos morfométricos em geral.

Para contextualizar a área em que este trabalho se insere, descreveremos em linhas gerais o processo de análise de imagens.

1.2 O processo de análise de imagens

As tarefas do processo de análise de imagens podem ser tipicamente divididas em três grandes etapas seqüencias: pré-processamento da forma, transforma-

ções de forma e classificação da forma, como mostra a figura 1. O foco deste trabalho é a caracterização (ou descrição) de formas. Definiremos a seguir algumas das tarefas do processo de análise de imagens, enfatizando as mais relevantes para este estudo.

1.3 Pré-processamento

O pré-processamento da forma envolve a obtenção e digitalização da imagem, a filtragem de ruídos, a detecção da forma de interesse na imagem (por exemplo, via segmentação, definida a seguir), a normalização da forma para viabilizar comparação, a localização de *landmarks* (conjuto de pontos que definem correspondência entre as formas) e outras operações sobre a forma.

1.4 Transformações

Etapa na qual se insere este trabalho. Momento em que é feita a extração de características da forma, isto é, quando se obtém informações abstratas sobre a imagem.

1.5 Classificação

Separação das formas em classes, baseando-se nas descrições obtidas na etapa de transformações. Neste processo, existem duas situações típicas: quando as classes são pré-definidas e possivelmente há exemplos delas, ou existe uma fase de treinamento, dizemos que a classificação é **supervisionada**. Quando não se sabe *a priori* quais são as classes de uma população de formas, dizemos que a classificação é **não-supervisionada**, envolvendo algoritmos de clustering (ou agrupamento). Ambos os casos envolvem a comparação entre formas e a definição de quão similares são duas formas.

2 Conceitos

Nesta seção, apresentamos os conceitos estudados necessários para realização e compreensão do trabalho.

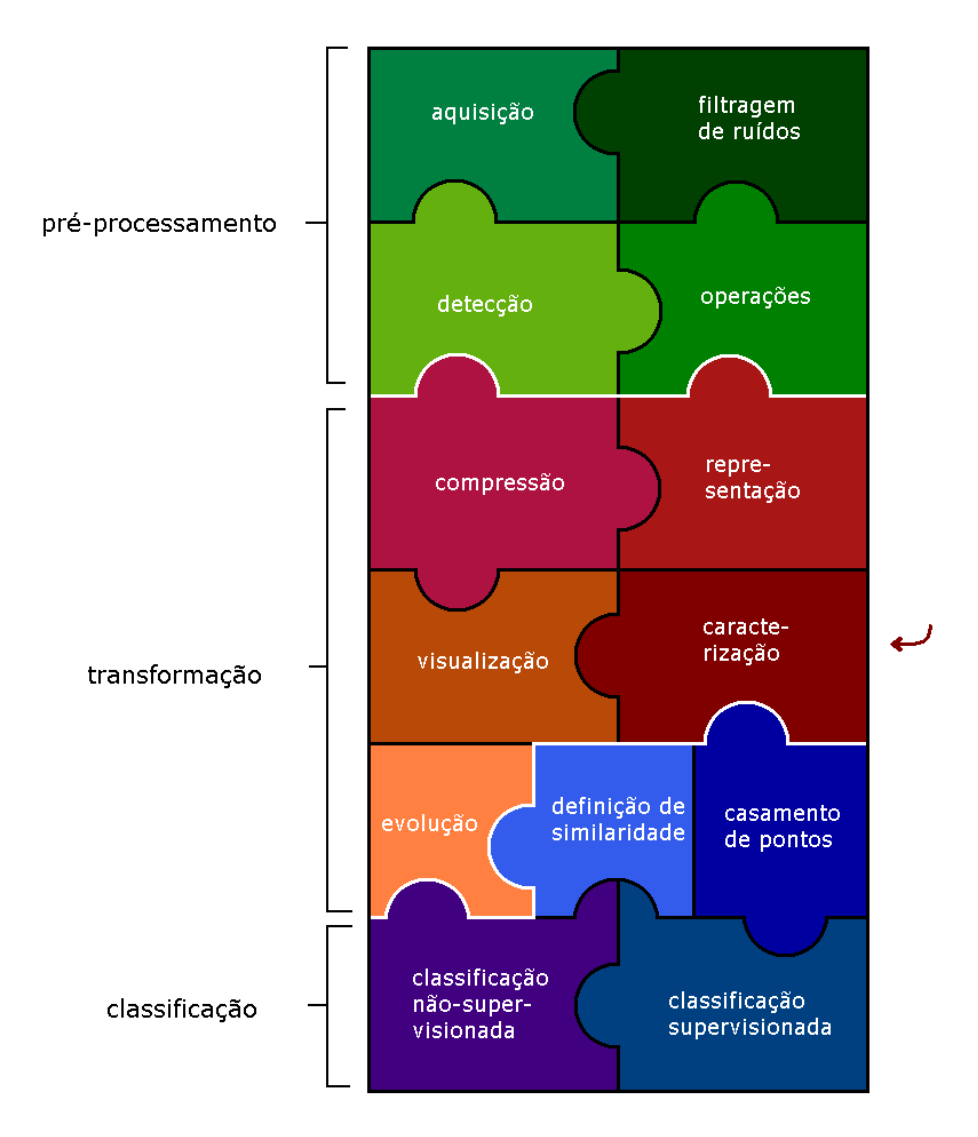


Figura 1: Tarefas típicas do processo de análise de imagens. Figura extraída de $\left[1\right]$

2.1 Imagem digital

Uma imagem digital é uma representação de uma imagem bidimensional como um conjunto finito de valores digitais, chamados de *pixels* (contração no inglês de *picture element*). Um *pixel* é o menor elemento de uma imagem, contendo a intensidade da cor da imagem no ponto ao qual corresponde.

Uma imagem digital pode ser representada digitalmente através de uma matriz, onde cada elemento é um valor no sistema aditivo de cores RGB (acrônimo do inglês para *Red*, *Green* e *Blue*), isto é, um número correspondente a uma cor formada por uma ponderação (variando de zero a 255) de vermelho, verde e azul. Cada uma dessas cores (vermelho, verde e azul) é chamada de banda.

Outra maneira comum de representar uma imagem digital é em níveis de cinza. Uma matriz de inteiros variando entre zero e 255 representa os tons de cinza da imagem: quanto mais baixo é o valor de um pixel, mais escura é sua tonalidade.

Um terceiro tipo de imagem digital é a imagem binária, que só possui valores zero ou um (usalmente visualizados como branco e preto, respectivamente). Esse tipo de imagem em geral é o produto da segmentação, definida mais adiante, e é muito útil para a análise de formas.

2.2 Vizinhança entre pontos

Duas definições de vizinhança entre pontos podem ser adotadas (figura 2):

- 4-vizinhança: os vizinhos do ponto (i, j) são os pontos (i, j-1), (i-1, j), (i+1, j) e (i, j+1).
- 8-vizinhança: os vizinhos do ponto (i, j) são os pontos da 4-vizinhança e também os pontos (i-1, j-1), (i-1, j+1), (i+1, j-1) e (i+1, j+1).

2.3 Segmentação

A segmentação é a delimitação de o que é objeto de interesse e o que é apenas fundo na imagem. É um procedimento que recebe uma imagem colorida ou em níveis de cinza e produz uma imagem binária onde os pixels acesos (com valor 1) são apenas aqueles que pertencem ao(s) objeto(s) de estudo.



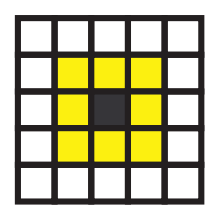


Figura 2: Ilustração das duas definições de vizinhança. À esquerda são destacados os 4-vizinhos do ponto central. À direita, os 8-vizinhos.

É um dos mais importantes passos para bons resultados. Erros na segmentação podem levar a problemas difíceis de serem tratados na análise da imagem.

Há diversas abordagens, entre elas algumas baseadas em limiarização, em crescimento de regiões, em redes neurais, em métodos estatísticos, na transformada de Fourier, na transformada wavelet, na transformação Watershed e em autômatos celulares (exemplo: GrowCut). A mais simples delas é mostrada a seguir.

2.3.1 Thresholding

Thresholding ou limiarização é um método de segmentação de imagens que seleciona apenas os pontos cujo valor é maior que um certo limiar. O valor do ponto depende da representação; pode ser o nível de cinza, o valor RGB ou uma ponderação do valor RGB (em particular, pode-se tomar apenas uma banda para aplicar a limiarização). O valor do limiar pode ser definido de várias maneiras: interativamente por uma pessoa que tenta encontrar um valor adequado; automaticamente analisando-se, por exemplo, o histograma de freqüência de intensidades da imagem; ou pode ser pré-definido caso as imagens a serem processadas sigam um padrão conhecido. Esta técnica de binarização se baseia na hipótese de que os níveis de intesidade do objeto e do fundo são diferentes e portanto, existe um valor capaz de separá-los.

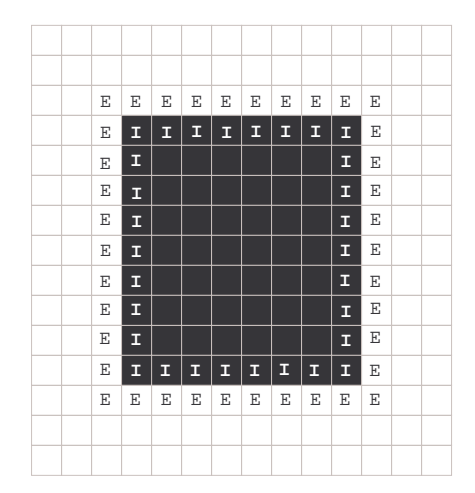


Figura 3: Exemplo de contornos interno (I) e externo (E) de uma forma discreta.

2.4 Área

Tendo o objeto de estudo segmentado na imagem, o cálculo da área é feito apenas contando-se o número de pixels que pertencem ao objeto. Obviamente, esta medida varia conforme a varia relação entre *pixel* e milímetros. Só é uma medida comparável entre duas imagens se lhe for aplicada uma proporção de escala ou se ambas as imagens forem obtidas mantendo a mesma distância entre objeto de estudo e dispositivo de aquisição da imagem.

2.5 Contorno

O contorno de um objeto pode ser definido de duas formas:

- 1. conjunto de *pixels* pertencentes ao objeto que fazem fronteira com os *pixels* pertencentes ao fundo, chamado de contorno interno
- 2. conjunto de *pixels* pertencentes ao fundo que fazem fronteira com os *pixels* pertencentes ao objeto, chamado de contorno externo
- A figura 3 ilustra um exemplo das duas definições.
- O algoritmo usado para encontrar o primeiro tipo de contorno é descrito a seguir. A idéia é começar percorrendo a imagem no sentido da leitura ocidental até encontrar o primeiro *pixel* do objeto, encontrando assim o primeiro

pixel do contorno (à esquerda do primeiro pixel encontrado do objeto). A partir deste primeiro ponto, procura-se por transições fundo-objeto entre seus 8-vizinhos e define-se como próximo ponto do contorno aquele que pertencer a última transição fundo-objeto seguindo o sentido anti-horário, partindo-se do último pixel visitado.

Procedimento para extração do contorno

```
// encontrando primeiro pixel do contorno
para i <- 1 até altura da imagem, faça
   para j <- 1 até largura da imagem, faça
      se (i,j) for objeto
         saia dos laços;
      fim
   fim
fim
se (i,j) está fora da imagem // não há objeto
   devolva o conjunto vazio;
senão
   adicione (i,j) ao contorno;
   // encontrando o segundo pixel do contorno
   nCandidatos <- 0;
   para todo candidato em (8-vizinhos de (i,j) de oeste a
   sudeste em sentido anti-horário), faça
      se o candidato é fundo e o próximo candidato é objeto
         se nCandidatos é zero
            prox = cadidato;
         fim
         nCandidatos++;
      fim
   fim
   seja B um valor booleano; // diz se há mais de
                            // um caminho a percorrer
   se nCandidatos > 1, então B <- verdadeiro;
```

```
senão, B <- falso;
      seja Dcn a direção de (i,j) a prox; // Dcn = Direction from
                                          //
                                                    Current to Next
      enquanto prox != (i,j) ou B, faça
         se (i,j) for igual a prox e B
            B <- falso;
         fim
         adicione prox ao contorno;
         Dpc <- Dcn; // Dpc = Direction from Previous to Current</pre>
         Dcn <- encontre_próximo(prox, Dpc);</pre>
      fim
   fim
fim
// aqui as direções são tratadas como inteiros de zero a oito
Sub-procedimento encontre_próximo(prox, Dpc)
   Dcp <- inverte_direção(Dpc);</pre>
   para r <- 0 até 6, faça // varre as sete direções possíveis
      De <- (Dcp + r) mod 8; // "mod" é a operação
      Di <- (Dcp + r + 1) % 8; // módulo ou resto da divisão
      Pe <- partindo do ponto prox, ande um pixel na direção De;
      Pi <- partindo do ponto prox, ande um pixel na direção Di;
      se Pe for fundo e Pi for objeto
         prox <- Pe;
         Dcn <- De;
      fim
   fim
   devolva Dcn;
fim
```

Destarte, segue-se o contorno no sentido anti-horário.

Note que o último *pixel* visitado também é candidato a próximo *pixel* do contorno. Isso ocorre para que possamos extrair o contorno externo de uma forma como a da figura 4, onde há uma reentrância de largura um pixel. Nela, o algoritmo consegue sair da reentrância uma vez tendo entrado nela.

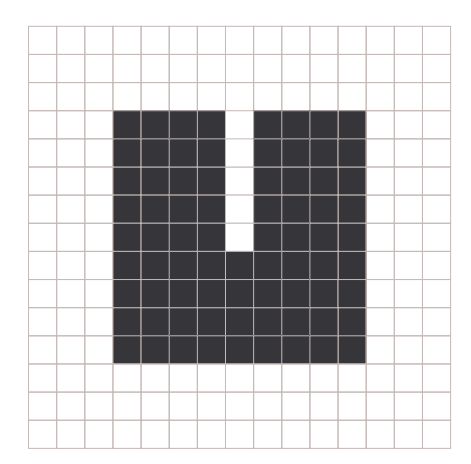


Figura 4: Exemplo de imagem binária com reentrância de um *pixel* de largura onde o trajeto do contorno deve entrar na reentrância e sair dela.

Essa escolha do último *pixel* pertencente a uma transição e não do primeiro é necessária para um caso específico, ilustrado na figura 5, onde há mais de um caminho a seguir. Podemos ver que, seguindo o algoritmo proposto acima, o contorno segue primeiramente pela parte "interna" no sentido horário e depois pela parte "externa" no sentido anti-horário. Se a escolha não fosse desta forma, percorreria-se apenas a parte "externa" do objeto.

O procedimento para encontrar o contorno interno é análogo. Basta considerar que os pontos do contorno devem pertencer ao objeto e não ao fundo.

2.6 Perímetro e maior diâmetro

O perímetro é definido como o número de pixels do contorno externo. O maior diâmetro é o maior segmento de reta inteiramente contido no objeto de interesse. É fácil deduzir que os extremos deste segmento pertencerão ao contorno interno. Para encontrá-lo, é necessário fazer uma busca exaustiva, calculando a distância (norma euclidiana) entre cada par de pixels do contorno. A intuição pode sugerir que precisemos buscar apenas entre os pontos "diametralmente" opostos, mas a figura 6 ilustra um exemplo em que o maior diâmetro não passa pelo seu centróide ou baricentro (definido a seguir), já que este não está contido no objeto de interesse neste caso.

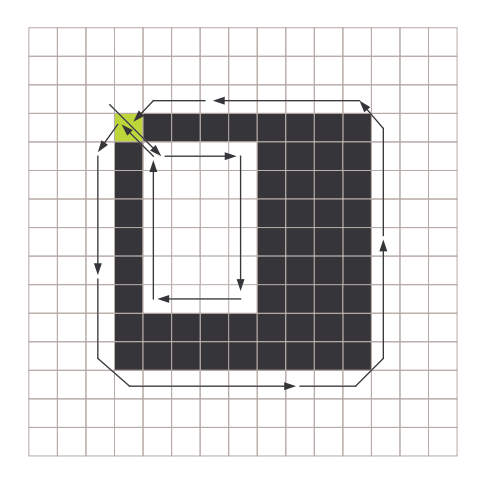


Figura 5: Exemplo de imagem binária em que o contorno deve seguir também pela parte "interna" da forma. O pixel destacado é o primeiro pixel do contorno.

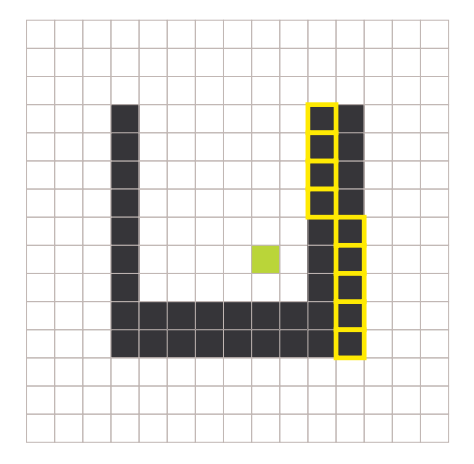


Figura 6: Uma imagem binária com o maior diâmetro destacado em amarelo e seu centróide marcado em verde.

2.7 Centróide

O centróide é o ponto da figura cujas coordenadas são as médias de todas as coordenadas dos pixels do objeto de interesse. Tem a propriedade de ser o centro de massa (baricentro) do objeto. Nem sempre pertence ao objeto, como é mostrado na figura 6.

2.8 Raio médio

Para inferir o raio médio de uma figura, dados o centróide da imagem e o contorno do objeto, calcula-se a distância média entre cada ponto do contorno e o centróide. Teremos a quantidade média de *pixels* que formam o raio médio da figura.

2.9 Assimetria

Para calcular alguma medida de assimetria de uma forma, é necessário antes definir o eixo de assimetria. Uma possibilidade é usar um dos eixos principais da forma, diretamente relacionados aos vetores próprios (ou autovetores) de uma matriz associada à imagem binária. Para calculá-los, devemos guardar as coordenadas dos pontos da imagem em dois vetores x e y. Em seguida, calculamos a matriz de covariância desses dois vetores, encarando cada ponto como um ensaio de duas variáveis aleatórias. Sendo X e Y variáveis aleatórias associadas, respectivamente, aos valores de x e de y, a matriz de covariância é definida da seguinte forma:

$$matriz de covarincia (X, Y) = \begin{bmatrix} var(X) & cov(X, Y) \\ cov(X, Y) & var(Y) \end{bmatrix}$$

Onde:

$$var(X) = E(X^{2}) - E^{2}(X)$$

$$cov(X,Y) = E(X.Y) - E(X).E(Y)$$

$$E(X) = \sum_{i=1}^{n} x_{i}.P(X_{i} = x_{i})$$

Tendo esta matriz calculada, basta calcular seus autovetores e têm-se os vetores diretores dos eixos principais. Um ponto que pertence a ambos os eixos é o centróide. Com isso podemos definir as retas às quais pertencem os eixos principais da forma.

Uma medida de assimetria pode ser a diferença entre as áreas de cada uma das partes da figura separadas por um dos eixos.

2.10 Proporção de escala

Uma vez que as imagens não são extraídas todas com mesma distância entre a lente fotográfica e o objeto, para que possamos comparar as medidas entre diferentes imagens, é preciso extrair as medidas em unidades métricas. Para tanto, é preciso saber a relação de escala entre *pixels* e milímetros. Se dispomos de uma referência de escala circular com raio conhecido, basta encontrar o centróide desta referência, calcular seu raio médio e calcular a prorpoção (raio médio/raio real da referência). Assim teremos a relação *pixels*/milímetros.

2.11 Série de Fourier

A série de Fourier é uma série harmônica que serve para representar funções periódicas como soma de funções exponenciais complexas (ou senóides, equivalentemente). Sendo 2L o período da função, seguem as duas formas de representação, a complexa:

$$f(t) = \sum_{n=-\infty}^{\infty} \frac{1}{2L} \int_{c}^{c+2L} f(t)e^{\frac{-i\pi nt}{L}} dt$$

e a trigonométrica:

$$f(t) = \frac{a_0}{2} + \sum_{n=1}^{\infty} \left[a_n \cos\left(\frac{n\pi t}{L}\right) + b_n \sin\left(\frac{n\pi t}{L}\right) \right]$$

onde:

$$a_0 = \frac{1}{L} \int_c^{c+2L} f(t) dt$$

$$a_n = \frac{1}{L} \int_c^{c+2L} f(t) \cos\left(\frac{n\pi t}{L}\right) dt$$

$$b_n = \frac{1}{L} \int_c^{c+2L} f(t) \sin\left(\frac{n\pi t}{L}\right) dt$$

A equivalência entre ambas as formas acima se dá pela equação de Euler:

$$e^{ix} = \cos(x) + i\sin(x) \tag{1}$$

2.12 Transformada de Fourier

A transformada de Fourier sintetiza uma função por uma ponderação de senos e cossenos. Os primeiros termos da transformada são os mais significativos. Isso significa que podemos aproximar uma função tomando apenas os primeiros termos com um erro menor do que um dado épsilon positivo. A figura 7 ilustra esse fenômeno.

Como os componentes desta ponderação (senóides) são periódicos, cada um deles possui uma freqüência. Por esse motivo, usalmente dizemos que a função passada pela transformada de Fourier está no domínio das freqüências. Em contrapartida, a função original está no domínio do tempo (pois a princípio está descrita em função do tempo).

A versão discreta da transformada de Fourier é dada pela fórmula:

$$x_k = \frac{1}{n} \sum_{j=0}^{n-1} f_j e^{\frac{2\pi i}{n} jk}$$
 $k = 0, \dots, n-1.$

onde:

$$f_j = \sum_{k=0}^{n-1} x_k e^{-\frac{2\pi i}{n}jk}$$
 $j = 0, \dots, n-1$

Para realizar este cálculo, novamente é preciso utilizar a relação da fórmula (1) de Euler.

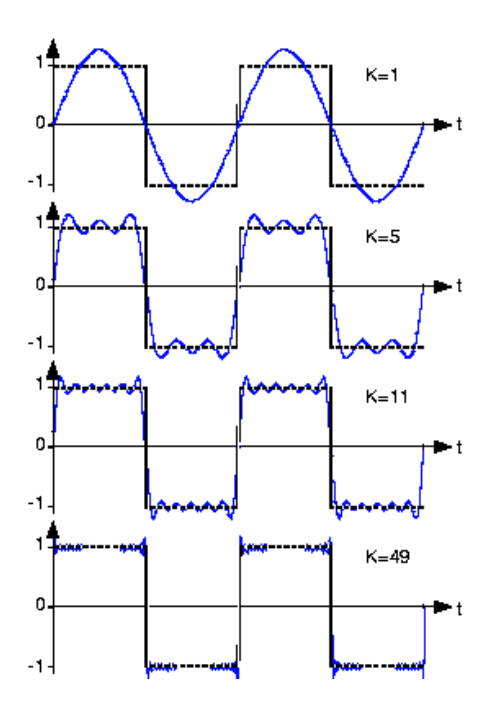


Figura 7: Aproximações de uma onda quadrada por somas de senos. No primeiro gráfico, apenas o primeiro coeficiente da transformada de Fourier é usado. Aos poucos se aumenta a quantidade de senos usada na síntese da função original e a aproximação fica cada vez melhor. Podemos notar que os primeiros coeficientes definem o tom geral da função original e os últimos coeficientes melhoram apenas o nível de detalhe. Imagem extraída de [2]

2.12.1 FFT

A implementação da transformada de Fourier como foi descrita gera um algoritmo quadrático. Ela pode ser implementada usando um algoritmo de complexidade $O(n.\log n)$, conhecido como Transformada Rápida de Fourier (FFT - Fast Fourier Transform).

2.13 Curvatura

Dada a curva paramétrica $c(t): \mathbb{N} \to \mathbb{N}^2, c(t) = (x(t), y(t)),$ que simula o contorno da forma em função do tempo, uma maneira de calcular sua curvatura k(t) é:

$$k(t) = \frac{x'(t)y''(t) - x''(t)y'(t)}{(x'(t)^2 + y'(t)^2)^{\frac{3}{2}}}$$

Usa-se a primeira e segunda derivadas da curva paramétrica. Mas não é simples de descobrir a curva paramétrica de um contorno. Uma outra forma de inferir a curvatura é através do curvograma (curvegram).

2.13.1 Curvograma

Existe uma fórmula fechada de derivação no domínio das freqüências. Sendo X(f) e Y(f) as transformadas de Fourier de x(t) e y(t) respectivamente, então:

$$X'(f) = i2\pi f X(f)$$

$$Y'(f) = i2\pi f Y(f)$$

$$X''(f) = -(2\pi f)^2 X(f)$$

$$Y''(f) = -(2\pi f)^2 Y(f)$$

Sabemos também que transformar a função para o domínio das freqüências, derivar usando o método acima e executar a transformada inversa preserva a derivação. Este é justamente o método que se aplica.

Um cuidado que deve ser tomado é que a curvatura é muito susceptível a ruídos. Portanto, é interessante deprezar os últimos coeficientes da transformada de Fourier por serem os que trazem mais detalhes, que é onde se encontram ruídos. O que se faz é, ao invés de pegar todos os coeficientes

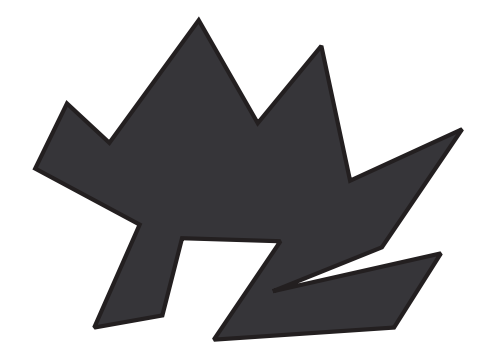


Figura 8: Uma forma com energia de dobramento mais alta

da transformada de Fourier com peso igual, multiplica-se os coeficientes por uma curva gaussiana de média zero, altura 1 e variância variável. Assim, o primeiro coeficiente (no ponto zero) é pego com peso 100%. Os coeficientes na seqüência tem um peso menor mas também relevantes até que os coeficientes mais altos influenciam muito menos no cáculo da curvatura. Esse procedimento suaviza a curva. Como a variância da curva de Gauss não é prédefinida, introduzimos uma nova variável. Por isso este método é chamado de multiescala.

2.14 Energia de dobramento

A energia de dobramento (bending energy) tem origem na teoria elástica da física. É interpretada como a quantidade de energia necessária para transformar a forma numa circunferência de mesmo perímetro. Por exemplo, a figura 8 tem mais energia de dobramento que a figura 9. Esta medida depende do material (quanto mais maleável, menor é a energia de dobramento). No caso digital, a resitência do material é ignorada.

Ela é calculada a partir da curvatura multiescala. É a integral do quadrado da curvatura ao longo do contorno. Não é tão descritiva quanto a curvatura, porém é muito mais sintética (é apenas um número), sendo uma boa característica para comparar formas.

Para ser independente da escala, é preciso fazer uma normalização. Por isso, a fórmula final da energia de dobramento multi-escala B(a) é:



Figura 9: Uma forma com energia de dobramento mais baixa

$$B(a) = \frac{L^2}{N} \sum_{n=0}^{N-1} k(a, n)^2$$

onde L é o comprimento do perímetro, k(a, n) é a curvatura no ponto a com a escala n.

3 Atividades realizadas

No princípio, muitos dos algoritmos já estavam prontos num toolbox em matlab. No final, aqueles que nos interessaram estavam implementados em java. Primeiramente fizemos apenas uma interface com um deslizador que permitisse a segmentação interativa através de limiarização. Com isso pudemos eleger a forma de iluminação usadas na aquisição das imagens que proporcionasse melhores segmentações. Depois implementou-se a extração da área, por ser a mais simples. Ainda se usou o matlab para extrair as demais medidas. Em seguida, a extração do contorno, por servir de base para muitas outras medidas. Com isso foi possível extrair o perímetro e a referência de escala e aos poucos o toolbox matlab foi sendo deixado de lado. Depois foi implementada a extração de curvatura e outras medidas. A ferramenta agora está totalmente auto-contida.

4 Resultados - A ferramenta

O resultado deste trabalho é um *software* escrito em java que serve de ferramenta para extrair automaticamente todas as medidas aqui detalhadas. A figura 10 exibe algumas capturas de tela do programa em funcionamento. O

usuário deve abrir uma imagem colorida em formato *jpeg* seguindo o protocolo que foi definido: fundo azul, ovo no centro e círculo vermelho de raio 13 milímetros ao lado. Então, o usuário usa a barra vertical para escolher o limiar para segmentação e obtém as medidas através do menu "Ferramentas".

4.1 Detalhes de implementação

Procuramos desenhar um esquema em que fosse fácil realizar manutenção; inserir a extração de novas medidas; e modularizar os algoritmos de processamento de imagens em relação às rotinas de interface. A classe abstrata Medida já ajuda no trabalho de inserir a extração de uma nova medida e força a manter a organização existente. Além disso, absolutamente todos os algoritmos de processamento de imagens se encontram nas classes PreProcessador e ExtratorDeMedidas, totalmente independentes da implementação do programa, podendo ser exportadas como biblioteca para ser usada em outros sistemas. Juntamente com este documento, segue o código-fonte do software.

5 Conclusão

A ferramenta criada possibilita a extração de características de imagens de ovos para estudos morfométricos, o que seria impossível sem o uso de imagens digitais e do computador e provavelmente inviável sem uma ferramenta customizada para este fim. Com a funcionalidade de salvar todas as medidas de uma só vez em um arquivo, é possível utilizar tais medidas em pacotes estatísticos para aplicação de algoritmos de agrupamento, escolha de características mais representativas, etc. Futuramente gostaríamos de estender a ferramenta de forma que incorpore extração de mais medidas e que seja mais genérica, possibilitando que o usuário informe a forma, a cor e o tamanho do objeto de referência de escala para que atenda a mais estudos morfométricos.

Parte subjetiva

Acredito que todas as disciplinas do primeiro ano foram importantes para este trabalho pois nelas foi que aprendi a pensar abstratamente e a programar, o que é fundamental para este tipo de trabalho.

Um dos desafios que senti logo que entrei no curso foi aprender a programar. Eu nunca tinha tomado contato com programação e tinha a impressão

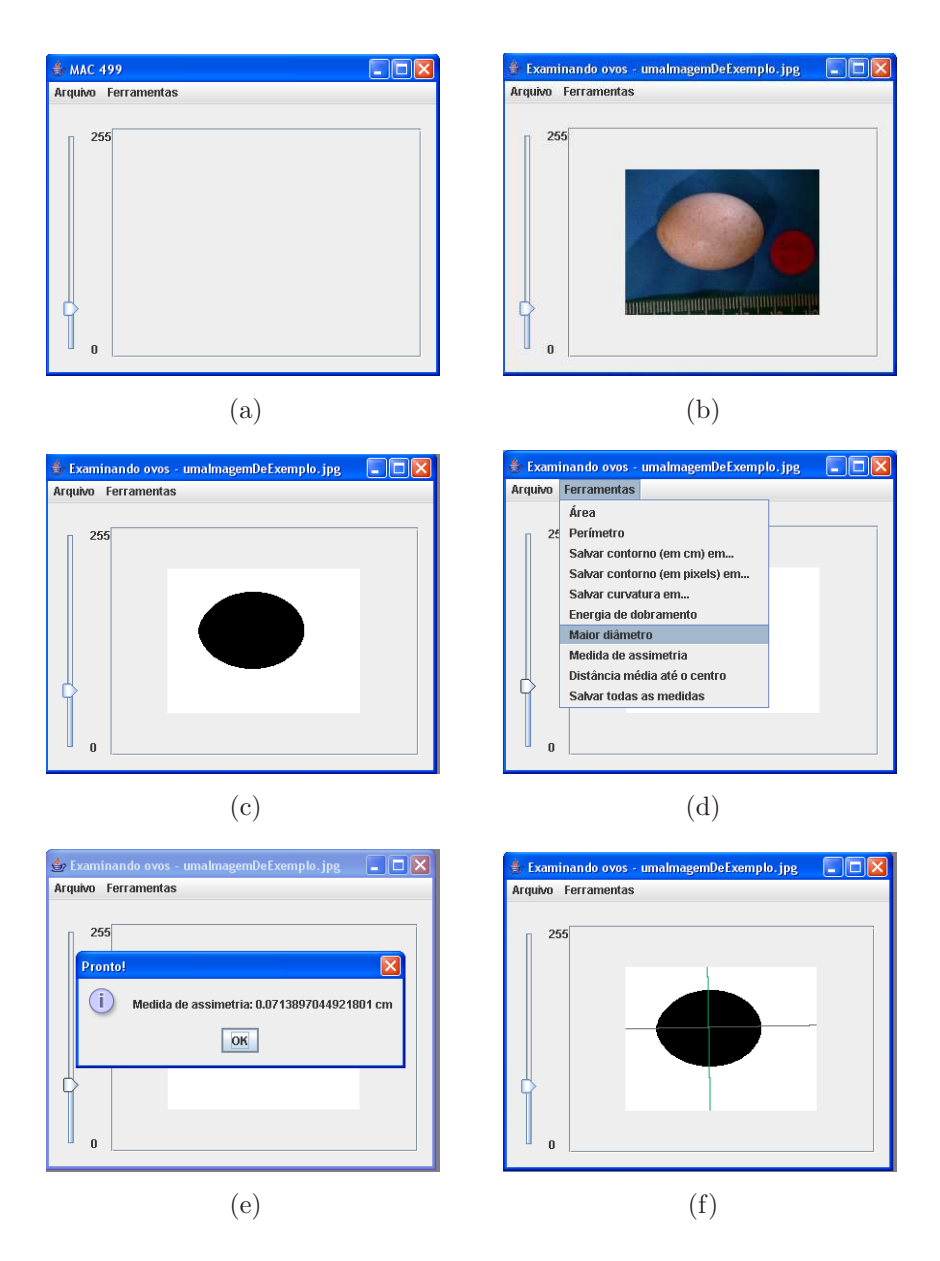


Figura 10: Capturas de tela do *software* em ordem temporal de um caso de uso: estado inicial do programa (a), imagem aberta (b), binarizada (c), pedindo para se extrair medida de assimetria (d), medida calculada e infomada na tela (e) e eixos principais do objeto desenhados na tela (f).

de que a maioria dos meus colegas já tinha. Porém, hoje vejo que não é ruim ingressar no BCC sem saber programar pois assim há menos chances de se aprender a programar errado. Vale citar que fui monitor de disciplinas quatro vezes e em todas aprendi muito. Estatística também foi importante para, especificamente, o cálculo de medida de assimetria.

Análise de algoritmos, pois as imagens com que trabalhamos são muito grandes (é fácil com elas estourar o *heap space* do java) e há algoritmos cuja primeira idéia nem sempre é a mais adequada por questão de espaço ou de tempo. Saber analisar os algoritmos é fundamental para otimizá-los.

Engenharia de software e Laboratório de Programação Extrema forneceram experiências com desenvolvimento de projetos e Programação Orientada a Objetos ajudou a elaborar o modelo do sistema. Tive muita dificuldade em trabalhar com interface gráfica por não ter quase nenhum experiência no assunto. Iniciar um sistema sozinho me forçou a desenhar o código orientado a objetos por conta própria, o que foi ums ótima experiência já que muitas vezes usamos as tecnologias e arquiteturas dadas prontas pelo professor ou às vezes o trabalho não é complicado ou duradouro o suficiente a ponto de exigir tal elaboração.

E finalmente, a disciplina mais diretamente relacionada a este trabalho que cursei foi Análise e Reconhecimento de Formas: Teoria e Prática, cujo professor foi meu orientador, ao qual sou muito grato pela orientação.

Infelizmente não me dediquei desde o início a este trabalho tanto quanto ele merecia, principalmente por estar estagiando. A experiência do estágio foi enriquecedora, porém ela podia esperar. Por isso, se eu pudesse aconselhar os calouros, diria que só trabalhassem se fosse necessário. Senão, que se dedicassem ao curso de ciência da computação.

Finalmente, este trabalho serviu de grande aprendizado para mim. Tive a oportunidade de conhecer um pouco mais sobre como funciona a pesquisa acadêmica no IME e desde então me agrada a idéia de seguir carreira acadêmica.

Referências

[1] Costa, Luciano da F. e Roberto M. Cesar Jr.

"Shape analysis and classification: theory and practice",

CRC Press, 2001.

- [2] Website Connexions: "El Fenómeno de Gibbs". http://cnx.org/content/m12929/latest
- [3] Morse, Bryan. "Shape Description (Contours)"

 http://homepages.inf.ed.ac.uk/rbf/CVonline/LOCAL_COPIES/
 MORSE/boundary-rep-desc.pdf, Brigham Young University,
 1998-2000.

Todas as páginas acessadas em 19/02/2008.